

УДК 539.374

ЧИСЛЕННАЯ МОДЕЛЬ ПРОНИКАНИЯ В ГРУНТ

КИРИЛЕНКО Г. А., САГОМОНЯН А. Я.

Проникание заостренных тел вращения по нормали к поверхности сухого слабосвязного грунта рассмотрено в работах [1], [2].

В работе [3] численные расчеты в задаче проникания использовались для проверки точности приближенной теории расширения цилиндрической полости в туфе. Одно- и двумерные расчеты проведены как для гидродинамической модели грунта, так и с учетом его прочности.

Известно, что многие грунты при нагружении деформируются необратимым образом [2]. При этом в слабосвязных грунтах при достаточно больших нагрузках можно пренебречь влиянием касательных составляющих напряжений на процесс деформирования по сравнению с влиянием среднего давления.

Предположим, что в условиях высокоскоростного проникания вблизи поверхности тела применима модель идеальной пластически сжимаемой среды.

Динамическая система уравнений для описания поступательного движения жесткого тела и вызванного им движения грунта в указанных предположениях имеет вид

$$\rho \frac{d\vec{V}}{dt} = -\text{grad } P, \quad \frac{d\rho}{dt} + \text{div } \rho \vec{V} = 0$$

$$m_1 \frac{dV_x}{dt} = - \int_{s_x(t)} P n_x ds$$

$$p = \begin{cases} f_n(\rho), \quad \frac{d\rho}{dt} > 0, \quad \rho^* = \rho \\ f_p(\rho, \rho^*), \quad \frac{d\rho}{dt} < 0, \quad \frac{d\rho^*}{dt} = 0 \\ f_p(\rho, \rho^*), \quad \frac{d\rho}{dt} > 0, \quad \rho < \rho^* \\ \frac{d\rho^*}{dt} = 0 \end{cases}$$

где $\rho = \rho(t, x)$, $V = V(t, x)$, $P = P(t, x)$, $\rho^* = \rho^*(t, x)$; ρ^* — максимальная плотность частицы среды, полученная ею в процессе предшеств-

лующего нагружения и сохраняющаяся в дальнейшем при разгрузке и повторной нагрузке до ρ^* ; f_{II} —функция нагружения; f_{III} —функция разгрузки; m —масса тела; V_T —скорость движения тела; $S_k(t)$ —поверхность контакта среды и тела; n_z —осевая компонента внешней к поверхности S_k нормали.

На свободной поверхности, совпадающей в начальный момент с границей нижнего полупространства, занятого грунтом, имеем

$$P_{\text{св}}(t, z, r) = 0$$

На оси симметрии выполнено

$$V_r(t, z, 0) = 0$$

На поверхности тела

$$V_i n_i = v_i n_i + v_i n_i$$

где (v_r, v_z) —компоненты скорости среды.

Рассмотрим для определенности нормальное проникание конуса конечного раствора: $r = z \operatorname{tg} \frac{\gamma}{2}$, $z \ll h_{\text{кон}}$, $z \geq 0$, $t = 0$, где γ —угол раствора конуса, $h_{\text{кон}}$ —высота конуса.

В начальный момент времени известна скорость $V_i(0)$ подхода тела к поверхности грунта. Грунт однороден: $\rho_0 = \text{const}$. Нет остаточных деформаций: $\varepsilon^*|_{t=0} = \varepsilon_0$. Всюду $P = 0$ и $\vec{V} = 0$. Для решения задачи от системы уравнений, приведенной выше, перейдем к интегральным соотношениям, записанным с помощью обобщенной эйлеровой формулировки законов сохранения. Это дает возможность пользоваться комбинированными диагранжево-эйлеровыми подвижными сетками.

Для расчета значений параметров на промежуточном слое явной разностной схемы используется алгоритм решения задачи о распаде произвольного разрыва в идеальной пластически сжимаемой среде на границе между двумя соседними ячейками в предположении локальной автомодельности.

Решение получено для конуса с параметрами [2]:

$$\gamma = \pi/3, m = 10 \text{ кг}, h_{\text{кон}} = 0,13 \text{ м}, V_T(0) = -600 \text{ м/с}$$

Параметры грунта (суглинок воздушной влажности):

$$f_{II}(\varepsilon) = \frac{\alpha \varepsilon}{\beta - \varepsilon}, \quad \varepsilon = 1 - \rho_0/\rho$$

$$f_{III}(\varepsilon, \varepsilon^*) = P^* [(e - \varepsilon_0)/(\varepsilon^* - \varepsilon_0)]^m$$

$$\alpha = 10^8 \text{ н/м}^2, \quad \beta = 0,5; \quad \rho_0 = 1529 \text{ кг/м}^3$$

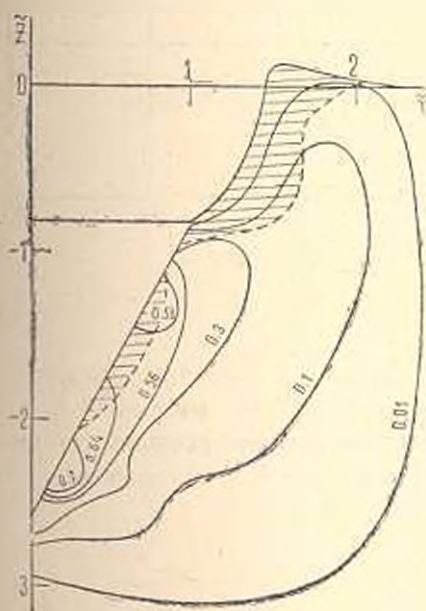
где $\varepsilon_0 = q \varepsilon^*$ —остаточная деформация; $q = 0,6$; $\varepsilon^* = 1 - \rho_0/\rho$ —максимальная деформация; $m = 5$

$$P^* = \frac{\alpha \varepsilon^*}{\beta - \varepsilon^*}$$

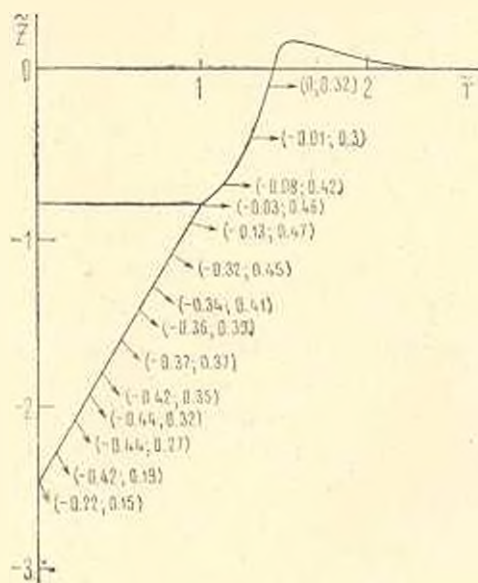
На фиг. 1 приведено поле давлений и вид свободной поверхности для момента времени $\bar{t} = 1,53$, когда конус полностью погружился в грунт. Здесь: $\bar{t} = tC_0/r_{\text{кон}}$, $r_{\text{кон}} = h_{\text{кон}} \lg 2$, C_0 —скорость звука в невозмущенной среде, $\bar{z} = z/r_{\text{кон}}$, $\bar{r} = r/r_{\text{кон}}$, $\bar{P} = P/(\rho_0 C_0^2)$.

Изобары имеют характерную чечевицепоподобную форму. Заштрихована область пластичности. Для нас выполнено: $\rho < \rho^*$. Характерной особенностью решения является наличие на поверхности конуса двух максимумов давления. На наш взгляд, это является результатом специфической формы ударной волны и двумерности течения грунта. Второй максимум давлений вблизи свободной поверхности постепенно исчезает по мере развития волны пластической разгрузки и увеличения глубины проникания.

Вид поля скоростей (фиг. 2) $\bar{V} = v/C_0$ вблизи поверхности тела (цифры в скобках—значения компонент) примерно соответствует гипотезе нормального движения среды [1].



Фиг. 1

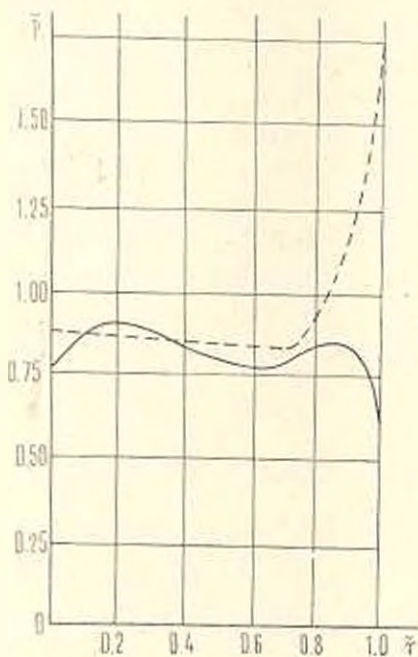


Фиг. 2

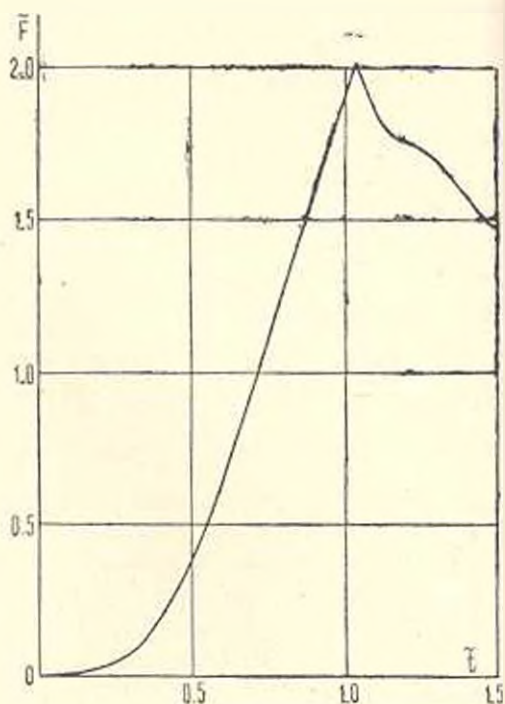
На фиг. 3 сплошной линией изображен профиль давления вдоль поверхности конуса в момент времени $\bar{t} = 1,01$, когда он погружен на глубину $z = -h_{\text{кон}}$. Здесь штриховая линия—решение по одномерной теории [1]. Существенное различие решений имеется вблизи свободной поверхности. Однако, его влияние локализовано довольно узкой зоной, что позволяет сделать вывод об обоснованности гипотезы [1].

Зависимость силы сопротивления $\bar{F} = F/(\pi \rho_0 C_0^2 r_{\text{кон}}^2)$ от глубины

проникания — z изображена на фиг. 4. Максимум достигается в момент, когда $z = -1,73$.



Фиг. 3



Фиг. 4

Следует отметить высокие сглаживающие свойства разностной схемы вследствие использования задачи о распаде разрывов. Это, в сочетании с подвижными перестраиваемыми по ходу решения сетками, позволяет ограничиться предельно малым числом счетных ячеек, что делает метод весьма экономичным.

ԳԵՏՏԱՀՈՂՈՒՄ ՆԵՐՔԱՓԱՆՑՄԱՆ ԹՎԱՅԻՆ ՄՈԴԵԼ

Գ. Ա. ԿՈՒՐԿԵԱՆ, Ա. ՅԱ ՍԱԳՈՒՐՈՆՅԱՆ

Ա մ փ ո փ ու մ

Թվային մեթոդներով լուծված է ղերրարձր արագությամբ մարմինների ներթափանցման խնդիրը, բերված են պիմադրության ուժի անլափ ժամանակից կախման դրաֆիկները:

THE NUMERICAL MODEL OF PENETRATION INTO THE SOIL

G. A. KIRILENKO, A. Y. SAGOMONIAN

S u m m a r y

The problem of high velocity penetration in an ideal plastic medium is solved by means of numerical methods. The graphs of drag force from dimensionless time are given.

Л И Т Е Р А Т У Р А

1. Сагомонян А. Я. Проникание. М.: изд. МГУ, 1974.
2. Рахматулин Х. А., Сагомонян А. Я., Алексеев Н. А. Вопросы динамики грунтов. М.: изд. МГУ, 1964.
3. Hicks D. H., Norwood F. R., Trusceno T. G. Toody—Wandy calculations of penetration events. Shock Waves condens. Mater. Con. Menlo Park, Calif., 23—25 June, 1981. New York: 1982, p. 544—547.

Механико-математический факультет МГУ
им. М. В. Ломоносова

Поступила в редакцию
28.VI. 1984